

1. はしがき

著者は、さきに、溪谷に生ずる巨石の移動の説明の一助として、河床に突出したれきが河積を占める割合が大きいとき、れき自身によるせき上げ効果が顕著になり、そのためにれきの受ける力が大きくなるものと考へ、この影響について考察した。しかしそのような効果が顕著になる水理条件については全くふれていなかった。本報告はこの水理条件について考察とを行なつたものである。

2. れきのまわりの流況

比較的流路幅のせまいところに水深あるいはそれ以上の直径をもつれきがおかれたときの流況は、流積中にれきの占める割合によつて変る。水路こう配が限界こう配以下の場合、れきによる縮小比が小さいとき、断面縮小部でも常流で、この場合の上下流の水位差はそれほど大きくない。しかし、こう配が限界こう配以下でも縮小比が大きいとき、断面縮小部に支配断面が生じて流れが射流になり、れきの背後で跳水が生じ、れきの上下流での水位差はきわめて大きくなる。図1は、球と水路中央においたとき、生じた上下流水位および球の側面の水面形を示したもので、球の末端付近で限界流が生ずる場合の例である。

水路全体が限界こう配以上の場合と同様に、縮小比が小さいときは、上流部、縮小部いずれも射流で流過し、球の上流側に衝突した流れによる局所的な水面の上昇を生ずる。しかし縮小比が大きくなると縮小部に支配断面が生じ、流れは上流側で跳水をおこし、常流となって、せき上げを生じる。れきのように、水深とはほぼ同じ大きさの障害物の場合には、跳水がその上を越えて流れるようになる。図2はそれらの一例を示したもので、aは限界こう配以下の流れ、bは限界こう配以上で、球の上をのり起せる流れを示す。なお底面に就いて測定した圧力分布を併記したが、Fr数の小さいときには底面圧力が静水圧より下廻るのに対し、Fr数が大きいときにはbのように、静水圧を上廻る部分が生じる。

球の上下流の水位差  $\Delta h$  は、その局所の流速水頭に比例し、局所の流速は球の前面の平均流速に比例すると考へると、 $\Delta h/h_1$  ( $h_1$  は前面の水深) は前面のFr数、 $Fr_1^2$  に比例することになる。図3は、実験から得られた  $\Delta h/h_1$  と  $Fr_1^2$  の関係を示したもので、粒径  $D$  に対して水深  $h$  が一定でないためちうばりはあるとしても、 $D$  と水路幅  $B$  の比によつて、ほぼ同じような傾向を示す。参考として、T. Hsieh<sup>2)</sup>によつて円筒に

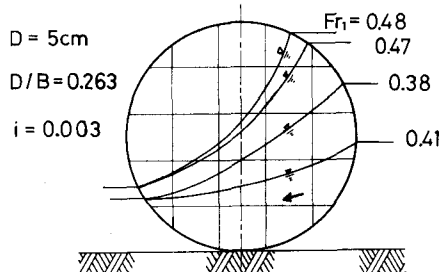


図1. れきのまわりの水面形

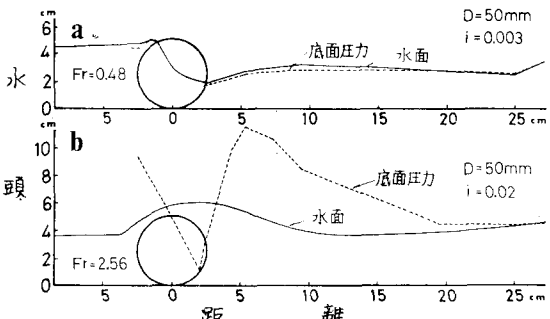


図2. 水面形と底面圧力の一例

ついで  $\Delta h$  を測定した結果を付記したが、円筒の例では、 $Fr_1$  が 1 以上では  $\Delta h/h_1$  は 1 の値とたどる。

$\Delta h$  の性質およびそれに伴う抵抗を明らかにするためには、さきに述べた流れの領域としらべ、流れの特性に応じた取扱いをする必要がある。そのためには、断面縮小部において常流から射流あるいは射流から常流に移行する限界を明らかにすることが必要である。

そこでまず、限界こう配以下で、水路内の流れが常流のときに縮小部で限界流を生ずる限界を求め、水位が最も低下する球の下流端において、そこに生ずる後流の幅と球径と等しいと仮定して、これを水路幅から除去したものと有効水路幅  $B_2$  とし、水深は球の背後の水深  $h_2$  で代表できるものとして、球の前面との間にエネルギー式を立てると、慣用の記号を用いてつぎのようになる。

$$h_1 + Z_1 + \alpha_1 (u_1^2/2g) = \alpha_2 h_2 + Z_2 + \alpha_2 (u_2^2/2g) + h_f + h_0 \quad (1)$$

ここに  $\alpha_1$  は運動エネルギーの補正係数、 $\alpha_2$  は静水圧分布からのずれの補正係数、 $h_f$  はさじつ損失、 $h_0$  は球による損失である。 $h_f = Z_1 - Z_2$ ,  $\alpha_2 h_2 = k(u_2^2/2g) + h_2$ ,  $h_0 = K_e(u_2^2/2g)$ , 添字 1 は球の前面とすと、

$$h_2/h_1 = (2 + \alpha_1 Fr_1^2) / (2 + \alpha' Fr_2^2), \quad \text{ここに } \alpha' = (\alpha_1 + k + K_e)$$

上式を連続式を用いて書直すと、

$$(B_2/B_1)^2 = Fr_1^2 (2 + \alpha' Fr_2^2)^3 / Fr_2^2 (2 + \alpha_1 Fr_1^2)^3 \quad (2)$$

ところで、(2)式に  $Fr_2 = 1$  を代入すると、断面 2 において限界流の生ずる限界の  $Fr_1$  と縮小比の関係が得られる。(2)式中の係数  $\alpha'$  を知るために、(2)式を書直して

$$\Delta h/h_1 = \alpha' Fr_1^{9/3} (B_2/B_1)^{2/3} / Fr_1^{2/3} - \alpha_1 Fr_1^2$$

とし、上流側の  $\alpha_1 = 1$  とし、誘導に用いた仮定に近い実験資料から  $\alpha'$  を定め(図 4)  $\alpha' = 1 \sim 0.85$  とする、 $\alpha'$  が 1 より小さいのは、 $k$  が負であるからであろう。そこで  $\alpha'$  を 1 および 0.85 として  $Fr_2 = 1$  が生ずる  $Fr_1$  と  $B_2/B_1$  の関係を求めると図 5 とする。 $B_2/B_1$  が与えられたとき、 $Fr_1$  を次第に大きくして限界線と横切ったとき、縮小部で限界流が生ずることになる。 $Fr$  数が大きくなると 2 の断面の水位は一律でなくなるが、一応の基準としよう。

限界こう配以上の水路における射流から常流への転移は、共軌水深の関係からきまる。以上の結果を後流およびそれに伴うれきの交差の抵抗力もそれに従って変化する。これらの影響を考慮して未定したれきの安定については、講演時に補足する予定である。

参考文献 1) 大同 坂本: 洪流における巨れきの移動機構について、土木学会第 24 回年次講演会 昭和 45 年 11 月

2) T. Hsish: Resistance of Cylindrical Piers in Open-Channel Flow, Proc. of ASCE HY1, Jan 1964

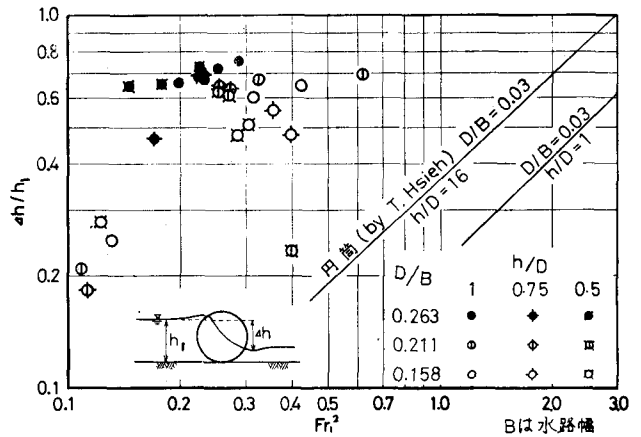


図 3.  $\Delta h/h_1$  と  $Fr_1^2$  との関係

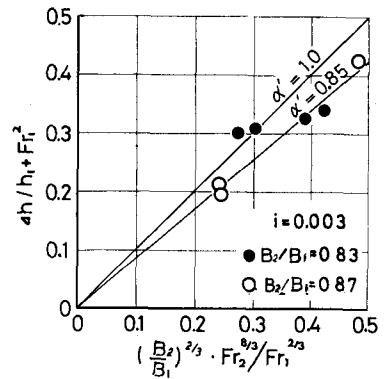


図 4.  $\alpha'$  の決定図

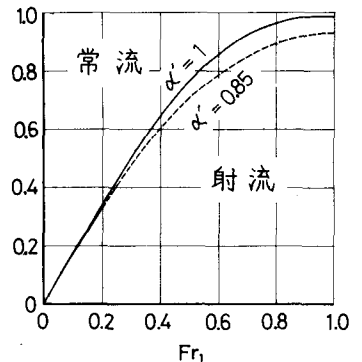


図 5. 縮小断面に射流の起る限界